

# 李群和李代数及其应用

## 第二章 半单纯李代数及其根系

刘玉鑫

北京大学物理学院理论物理研究所

### 目 录

第一节 李代数的正则形式及其根的性质

第二节 半单李代数的根图与李代数的分类

第三节 素根系和邓金图

第四节 根的确定

北京大学物理学院, 2020年春季学期

## § 2.3.3 邓金图

### 一、邓金图的概念

#### 1. 邓金图

对正则形式下的素根系  $\{\alpha_i\} = \pi$ ,

记:  $\frac{2(\alpha_i, \alpha_j)}{(\alpha_i, \alpha_i)} \leq 0 = 0, -1, -2, \dots, -m$ ,  $\frac{2(\alpha_j, \alpha_i)}{(\alpha_j, \alpha_j)} \leq 0 = 0, -1, -2, \dots, -m'$ ,

$\alpha_i$  与  $\alpha_j$  间的夹角  $\theta_{ij}$  满足  $\cos^2 \theta_{ij} = \frac{(\alpha_i, \alpha_j)^2}{\alpha_i^2 \alpha_j^2} = \frac{1}{4} mm'$ ,

$\alpha_i$  与  $\alpha_j$  的长度间有关系  $m\alpha_i^2 = m'\alpha_j^2$ , 即  $\frac{\alpha_i^2}{\alpha_j^2} = \frac{m'}{m}$ ;

约定  $|\alpha_i| \leq |\alpha_j|$ , 则  $m' \leq m$ .

具体有:  $\theta_{ij} = 90^\circ$ , 则  $mm' = 0$ , 两根长度间无确定关系;

$\theta_{ij} = 120^\circ$ , 则  $mm' = 1$ ,  $\alpha_i^2 / \alpha_j^2 = 1$ ,  $m = m' = 1$ ;

$\theta_{ij} = 135^\circ$ , 则  $mm' = 2$ ,  $\alpha_i^2 / \alpha_j^2 = 1/2$ ,  $m = 2$ ,  $m' = 1$ ;

$\theta_{ij} = 150^\circ$ , 则  $mm' = 3$ ,  $\alpha_i^2 / \alpha_j^2 = 1/3$ ,  $m = 3$ ,  $m' = 1$ .

### § 2.3.3 邓金图

#### 一、邓金图的定义

##### 1. 邓金图

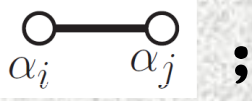
根据上述特征所做的**满足下述规则**的根系的图示称为邓金图。

(1) 用**圆圈代表素根**，并以是否实心区分其长度，具体的，以  $\bigcirc$  代表长根，以  $\bullet$  代表短根；

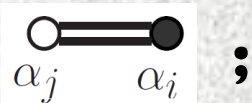
(2) 由**不同数目的线表征**相邻素根间的**夹角**，具体即：

〈1〉正交根之间不连线，即：对  $\theta_{ij} = 90^\circ$ ，图示为 ；

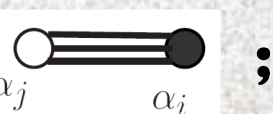
〈2〉成  $120^\circ$  角的两根间连一条线，

即：对  $\theta_{ij} = 120^\circ$ ，图示为 ；

〈3〉成  $135^\circ$  角的两根间连两条线，

即：对  $\theta_{ij} = 135^\circ$ ，图示为 ；

〈4〉成  $150^\circ$  角的两根间连三条线，

即：对  $\theta_{ij} = 150^\circ$ ，图示为 ；

一般地，连线条数  $t_{ij} = 4\cos^2\theta_{ij}$ 。



### § 2.3.3 那金图

#### 一、那金图的定义

##### 1. 那金图

上述讨论  $\Rightarrow$  可以用素根系对李代数进行分类。

记单位向量为  $u_i = \frac{\alpha_i}{|\alpha_i|}$ ，它们**满足所有(初等)几何学原理**，

例如：**(1) 正定性**，

$$\forall X = x^i u_i, (X, X) \geq 0,$$

并且，当且仅当  $X = 0$  时等号成立。

**(2) 广义勾股定理：**

对任意单位向量  $X^\circ$  和数  $l' \leq l$ ，

$$\sum_{i=1}^{l'} (X^\circ, u^i)^2 = \sum_{i=1}^{l'} \cos^2 \theta_i \leq 1.$$

**(3) Schwarz Inequality :**

对任意两根间的夹角  $\theta_{XY}$ ， $|\cos \theta_{XY}| = \frac{|(X, Y)|}{|X||Y|} \leq 1.$

##### 2. 角图

仅考虑素根间夹角，不明确考虑其间长度关系的那金图称为角图。

### § 2.3.3 那金图

## 二、那金图的性质及可能的那金图

1. 当且仅当代数是单的， $\pi$  图才是连通的。

证明：假设根系  $\{\alpha\}$  与根系  $\{\beta\}$  不连通，

由那金图的定义知，

$\{\alpha\}$  与  $\{\beta\}$  正交，

即  $\{\alpha\}$  与  $\{\beta\}$  对易。

也就是说， $\{\alpha\}$  和  $\{\beta\}$  各自构成不变子代数，

这与单李代数的定义不一致，

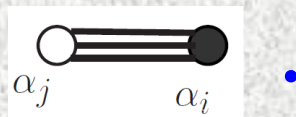
于是，该李代数不是单的。

这一结论与已知条件不一致。

总之：当且仅当代数是单的， $\pi$  图才是连通的。

[证毕]

2. 含有三条线的那金图只有



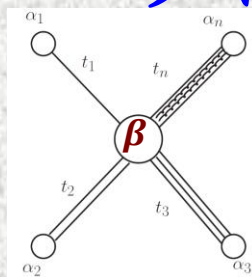
由定义知，此性质成立。

### § 2.3.3 邓金图

## 二、邓金图的性质及可能的邓金图

3. 以一个素根为顶点，能够外连的线数不能大于3.

即，对图示的邓金图



$$, \quad t_1 + t_2 + \cdots + t_n \leq 3.$$

证明：如图，设  $\beta$  和  $\{\alpha\}$  构成半单李代数的素根系，

其中  $\{\alpha\} = \{\alpha_1, \alpha_2, \cdots, \alpha_n\}$ ,

则该李代数是  $(n+1)$  秩的。

再选取与  $\{\alpha_1, \alpha_2, \cdots, \alpha_n\}$  都彼此独立的素根，记之为  $\{\alpha_0\}$ ,

则任一正根  $\gamma$  都可以表述为  $\gamma = \sum_{i=0}^n \gamma^i \alpha_i$ ,

由广义勾股定理知， $\cos^2 \theta_0 + \sum_{i=1}^n \cos^2 \theta_i = 1$ .

于是有  $\sum_{i=1}^n \cos^2 \theta_i = 1 - \cos^2 \theta_0 < 1$ .

所以与  $\beta$  相连的线数  $K = \sum_{i=1}^n t_i = 4 \sum_{i=1}^n \cos^2 \theta_i < 4$ .

即：角图中任何一个根都不可能有三条以上的线与之相连。[证毕]



### § 2.3.3 那金图

## 二、那金图的性质及可能的那金图

### 4. 角图必须是树形的，不可能包含闭路。

证明：记  $\{\alpha_i | i = 1, 2, \dots, l\} = \pi$ ，假设它们在角图中形成回路，

再记  $\alpha_{l+1} = \alpha_1$ ， $|\alpha_i| = (\alpha_i, \alpha_i)^{1/2}$ ，因这些根相继连接，

则  $(\alpha_i, \alpha_{i+1}) \neq 0, i = 1, 2, \dots, l$ ;

$$(\alpha_i, \alpha_j) = 0, i, j = 1, 2, \dots, l, |i - j| \neq 1.$$

$$\begin{aligned} \text{于是 } \left( \sum_{i=1}^l \frac{\alpha_i}{|\alpha_i|}, \sum_{j=1}^l \frac{\alpha_j}{|\alpha_j|} \right) &= \sum_{i=1}^l \frac{(\alpha_i, \alpha_i)}{|\alpha_i|^2} + 2 \sum_{i=1}^l \frac{(\alpha_i, \alpha_{i+1})}{|\alpha_i| \cdot |\alpha_{i+1}|} \\ &= l + 2 \sum_{i=1}^l \cos \theta_{i(i+1)}. \end{aligned}$$

由一般原理知  $\cos \theta_{i(i+1)} = -1/2, -\sqrt{2}/2, -\sqrt{3}/2$ ,

那么， $l + 2 \sum_{i=1}^l \cos \theta_{i(i+1)} \leq l + 2 \cdot (-1/2)l = 0$ 。

这显然与正定性矛盾。

因正定性是基本原理，则只能是“形成回路”的假设不成立。

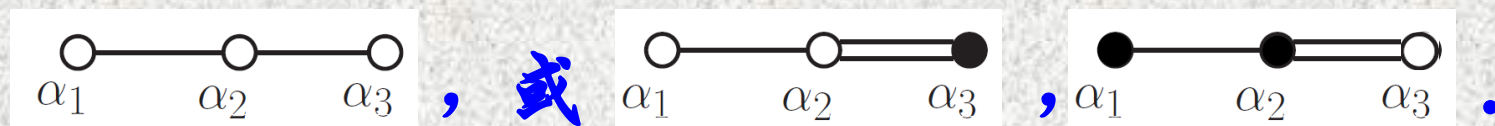
所以，角图必须是树形的，不可能形成闭路。

[证毕]

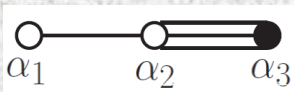
### § 2.3.3 邓金图

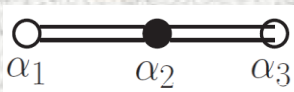
## 二、邓金图的性质及可能的邓金图

### 5. 三个素根构成的 $\pi$ 图系只有



前述要求  $\implies$

不可能存在  , 因为  $\alpha_2$  外连有 4 条线;

不可能存在  , 因为  $\alpha_2$  也外连有 4 条线;

也不可能存在  , 因为形成了回路  $\alpha_1 - \alpha_2 - \alpha_3 - \alpha_1$  .

况且, 由一个素根向外连接的线既不多于 3 条,

也不形成回路的三种情况下,

对应第一种情况,  $\theta_{12} + \theta_{23} + \theta_{31} = 120^\circ + 120^\circ + 90^\circ = 330^\circ$  ;

对应第二和第三种情况,  $\theta_{12} + \theta_{23} + \theta_{31} = 120^\circ + 135^\circ + 90^\circ = 345^\circ$  ;

都满足  $\leq 360^\circ$  设的条件。

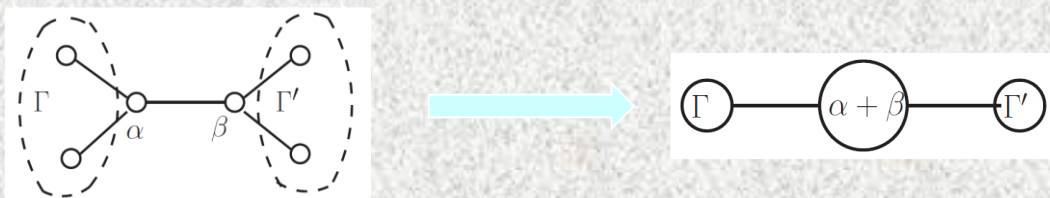
[证毕]



## 二、邓金图的性质及可能的邓金图

6. 如果一个  $\pi$  系包含有两个单线联系的顶点 (素根), 则把两条单线缩并成一条双线, 两个顶点缩并成一个顶点, 形成的根系仍是  $\pi$  系。

例如:



证明: 如图, 取素根  $\gamma \in \Gamma$ ,

因其与  $\alpha$  相连, 与  $\beta$  不相连,

则  $(\gamma, \beta) = 0$ ,  $(\gamma, \alpha) \neq 0$ ,  $(\gamma, (\alpha + \beta)) = (\gamma, \alpha) < 0$ .

同理, 对  $\gamma' \in \Gamma'$ ,

$(\gamma', \alpha) = 0$ ,  $(\gamma', \beta) \neq 0$ ,  $(\gamma', (\alpha + \beta)) = (\gamma', \beta) < 0$ .

即将  $\alpha$  与  $\beta$  之间的单线缩并掉, 并将  $\alpha$  和  $\beta$  缩并成一个顶点, 形成的根系仍然是一个  $\pi$  系。

[证毕]

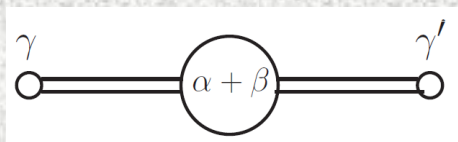
### § 2.3.3 那金图

## 二、那金图的性质及可能的那金图

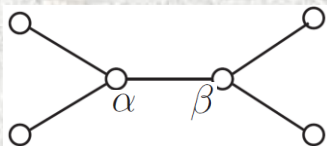
6. 如果一个 $\pi$ 系包含有两个单线联系的顶点(素根), 则把两条单线所并成一条双线, 两个顶点缩并成一个顶点, 形成的根系仍是 $\pi$ 系。

推论: (1) 不可能存在形如  的角图,

因其缩并后为

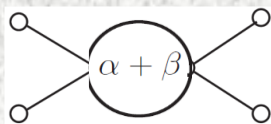


(2) 不可能存在形如



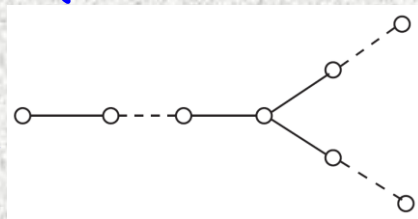
的角图,

因其可缩并为



即: 角图中不可能有两个或更多个分岔,  
也不可能既有分岔又有双线。

(3)  $\pi$  系允许的有分岔的图只能是

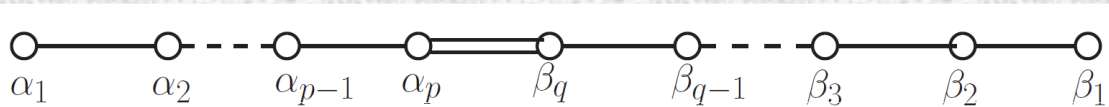


### § 2.3.3 邓金图

## 二、邓金图的性质及可能的邓金图

7. 角图中双线两侧的单线的长度只有两种，  
其一是一侧任意可能长，另一侧无单线；  
其二是两侧各仅有一条单线。

证明：记角图中双线两侧的单线素根分别为  $\alpha_i$ 、 $\beta_j$ ，

即有  ,

再记相应于  $\alpha_i$ 、 $\beta_j$  的单位向量分别为  $u_i = \frac{\alpha_i}{|\alpha_i|}$ ， $v_j = \frac{\beta_j}{|\beta_j|}$ ，

分别以  $\{u_i\}$ 、 $\{v_j\}$  为基构造向量  $u = \sum_{i=1}^p i u_i$ ， $v = \sum_{j=1}^q j v_j$ ，

则  $u^2 = (\sum_{i=1}^p i u_i, \sum_{i'=1}^p i' u_{i'}) = \sum_{i,i'=1}^p i i' (u_i, u_{i'})$

考虑  $(u_i, u_i) = 1$ ， $(u_i, u_{i'}) = -\frac{1}{2} \delta_{i'(i \pm 1)}$ ，

则  $u^2 = \sum_{i=1}^p i^2 - \frac{1}{2} \left( \sum_{i=2}^p (i-1)i + \sum_{i=1}^{p-1} i(i+1) \right)$



### § 2.3.3 那金图

#### 二、那金图的性质及可能的那金图

7. 角图中双线两侧的单线的长度只有两种，其一是一侧任意可能长，另一侧无单线；其二是两侧各仅有一条单线。

证明(续): 即有  $u^2 = \sum_{i=1}^p i^2 - \sum_{i=1}^{p-1} (i^2 + i) = p^2 - \sum_{i=1}^{p-1} i$   
$$= p^2 - \frac{1}{2} p(p-1) = \frac{1}{2} p(p+1) .$$

同理,  $v^2 = \frac{1}{2} q(q+1) .$

由于不相连的素根都正交, 双线相连的两素根成  $135^\circ$  夹角,

则  $u \cdot v = (u, v) = \left( \sum_{i=1}^p i u_i, \sum_{j=1}^q j v_j \right) = pq(u_p, v_q) = -\frac{1}{\sqrt{2}} pq .$

由 Schwarz 不等式知  $(u, v)^2 \leq u^2 v^2$  ,

于是有  $\frac{1}{2} p^2 q^2 < \frac{1}{4} pq(p+1)(q+1) ,$

亦即有  $pq < \frac{1}{2} (p+1)(q+1) .$

也就是  $\left(1 + \frac{1}{p}\right) \left(1 + \frac{1}{q}\right) > 2 .$

### § 2.3.3 那金图

#### 二、那金图的性质及可能的那金图

7. 角图中双线两侧的单线的长度只有两种，其一是一侧任意可能长，另一侧无单线；其二是两侧各仅有一条单线。

证明(续): 设  $p \geq q$ , 则  $\frac{1}{p} \leq \frac{1}{q}$ ,

$$\text{那么, } 2 < (1 + \frac{1}{p})(1 + \frac{1}{q}) \leq (1 + \frac{1}{q})^2,$$

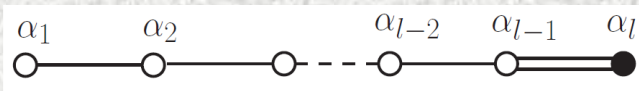

$$\text{即有, } \sqrt{2} - 1 < \frac{1}{q}.$$

$$\therefore q < \frac{1}{\sqrt{2}-1} = \sqrt{2} + 1.$$

由此知  $q = 1$ , or  $q = 2$ .

对  $q = 1$ , 原不等式化为  $(1 + \frac{1}{p}) \cdot 2 > 2$ ,

从而有  $\frac{1}{p} > 0$ , 即  $p$  可以取任意可能的自然数。

也就是有  或 .

### § 2.3.3 那金图

#### 二、那金图的性质及可能的那金图

7. 角图中双线两侧的单线的长度只有两种，其一是一侧任意可能长，另一侧无单线；其二是两侧各仅有一条单线。

证明(续): 对  $q=2$ ，原不等式化为  $(1 + \frac{1}{p}) \cdot \frac{3}{2} > 2$ ，

即要求  $1 + \frac{1}{p} > \frac{4}{3}$ ，

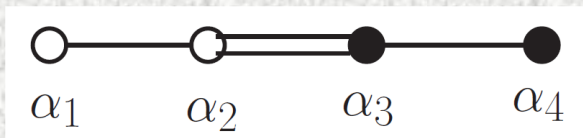
也就是  $\frac{1}{p} > \frac{1}{3}$ 。

再考虑原假设  $p \geq q$ ，则有  $2 \leq p < 3$ ，

从而仅有  $p=2$ 。

这就是说，仅有“双线两侧各有一条单线”的那金图，

即有



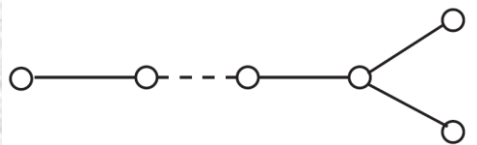
[证毕]



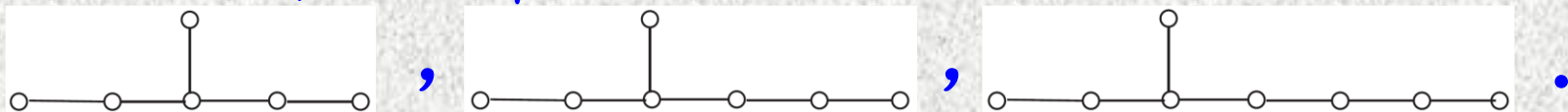
## 二、邓金图的性质及可能的邓金图

8. 可能包含分岔的角图仅有五种情况:

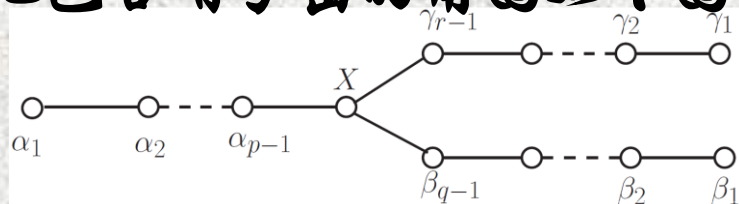
(1) 根本没有分岔, 即有  ;

(2) 分岔的单线长度仅为 1, 即有  ;

(3) 与一条单线相连的根一侧有 2 个根, 另一侧有 2 个、3 个或 4 个素根, 即有



证明: 记包含有分岔的角图如下图示



, 需要确定  $p=?$   $q=?$   $r=?$

再记相应的单位向量分别为  $u_i = \frac{\alpha_i}{|\alpha_i|}$ ,  $v_j = \frac{\beta_j}{|\beta_j|}$ ,  $w_k = \frac{\gamma_k}{|\gamma_k|}$ ,

并构造向量  $u = \sum_{i=1}^{p-1} i u_i$ ,  $v = \sum_{j=1}^{q-1} j v_j$ ,  $w = \sum_{k=1}^{r-1} k w_k$ ,

### § 2.3.3 那金图

#### 二、那金图的性质及可能的那金图

8. 可能包含分岔的角图仅有五种情况: (1) 根本没有分岔; (2) 分岔的单线长度仅为 1; (3) 与一条单线相连的根一侧有 2 个根, 另一侧有 2、3、4 个素根。

证明(续): 具体计算得

$$u^2 = \frac{1}{2} p(p-1), \quad v^2 = \frac{1}{2} q(q-1), \quad w^2 = \frac{1}{2} r(r-1).$$

由于不相连的素根都正交, 因此  $(u, v) = (v, w) = (w, u) = 0$ .

对于处于分岔顶点的独立于  $u$ 、 $v$ 、 $w$  的素根  $X$  (单位长度),

由于单线联系的两素根间的夹角为  $120^\circ$ , 该夹角的余弦为  $-1/2$ ,

$$\text{则 } (X, u) = (X, (p-1)u_{p-1}) = (p-1)(X, u_{p-1}) = \frac{1}{2}(1-p),$$

$$(X, v) = \frac{1}{2}(1-q), \quad (X, w) = \frac{1}{2}(1-r),$$

$$\text{于是 } \cos^2 \theta_1 = \frac{(X, u)^2}{(X, X)(u, u)} = \frac{\frac{1}{4}(1-p)^2}{1 \cdot \frac{1}{2} p(p-1)} = \frac{1}{2} \frac{p-1}{p} = \frac{1}{2} \left(1 - \frac{1}{p}\right),$$

$$\cos^2 \theta_2 = \frac{(X, v)^2}{(X, X)(v, v)} = \frac{1}{2} \left(1 - \frac{1}{q}\right), \quad \cos^2 \theta_3 = \frac{(X, w)^2}{(X, X)(w, w)} = \frac{1}{2} \left(1 - \frac{1}{r}\right),$$

### § 2.3.3 那金图

#### 二、那金图的性质及可能的那金图

8. 可能包含分岔的角图仅有五种情况: (1) 根本没有分岔; (2) 分岔的单线长度仅为 1; (3) 与一条单线相连的根一侧有 2 个根, 另一侧有 2、3、4 个素根。

证明(续): 由广义勾股定理知

$$\cos^2\theta_1 + \cos^2\theta_2 + \cos^2\theta_3 < 1,$$

于是有 
$$\frac{1}{2} \left( 3 - \frac{1}{p} - \frac{1}{q} - \frac{1}{r} \right) < 1.$$

即 
$$\frac{1}{p} + \frac{1}{q} + \frac{1}{r} > 1.$$

假设  $p \geq q \geq r$ , 则 
$$\frac{1}{p} \leq \frac{1}{q} \leq \frac{1}{r},$$

于是原不等式可改写为 
$$\frac{1}{p} + \frac{1}{q} + \frac{1}{r} \leq \frac{3}{r} > 1.$$

所以  $r < 3,$

即仅有  $r=1,$  和  $r=2.$




### § 2.3.3 那金图

#### 二、那金图的性质及可能的那金图

8. 角图中双线两侧的单线的长度只有两种，其一是一侧任意可能长，另一侧无单线；其二是两侧各仅有一条单线。

证明(续): 对  $r=1$ , 原不等式即  $\frac{1}{p} + \frac{1}{q} + 1 > 1$ ,  
亦即,  $\frac{1}{p} + \frac{1}{q} > 0$ , 从而,  $p, q$  可取任意自然数。

由于  $r=1$  表明不存在  $\gamma$  对应的分支, 即实际无分岔。

于是有那金图 , 对应  $A_I$ .

对  $r=2$ , 原不等式即  $\frac{1}{p} + \frac{1}{q} + \frac{1}{2} > 1$ ,

亦即有  $\frac{1}{p} + \frac{1}{q} > \frac{1}{2}$ .

考虑原始假设  $p \geq q$ , 则有  $\frac{1}{p} + \frac{1}{q} \leq \frac{2}{q}$ ,

从而有  $\frac{2}{q} > \frac{1}{2}$ ,

于是有  $q < 4$ .

### § 2.3.3 那金图

#### 二、那金图的性质及可能的那金图

8. 角图中双线两侧的单线的长度只有两种，其一是一侧任意可能长，另一侧无单线；其二是两侧各仅有一条单线。

证明(续): 再考虑  $q \geq r = 2$ ，则有  $q = 2, 3$ 。

对  $q = 2$ ，原不等式具体化为  $\frac{1}{p} + \frac{1}{2} + \frac{1}{2} > 1$ ，即  $\frac{1}{p} > 0$ 。

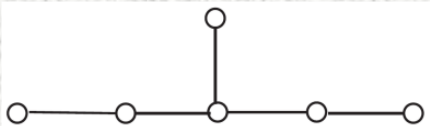
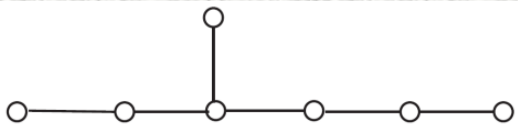
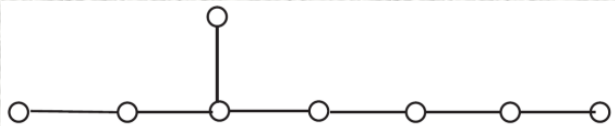
从而  $p$  取任意自然数。

因为  $q = r = 2$  对应应有长度为1的分岔，于是有  ·  $(D_l)$

对  $q = 3$ ，原不等式具体化为  $\frac{1}{p} + \frac{1}{3} + \frac{1}{2} > 1$ ，即有  $\frac{1}{p} > \frac{1}{6}$ 。

于是有  $p = 3, 4, 5$ 。

此即：与长度为1的单线相连的素根一侧有长度为2的单线相连的根链，另一侧有长度分别为2、或3、或4的素根链，

即有  ,  ,  .

$(E_6)$                        $(E_7)$                        $(E_8)$

[证毕]

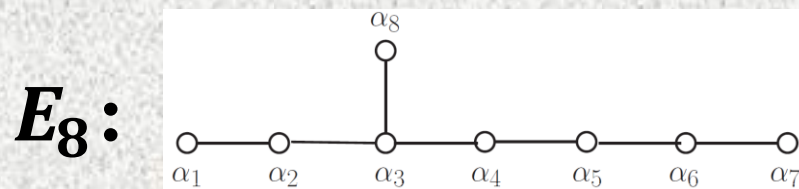
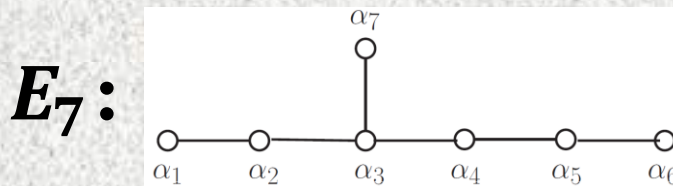
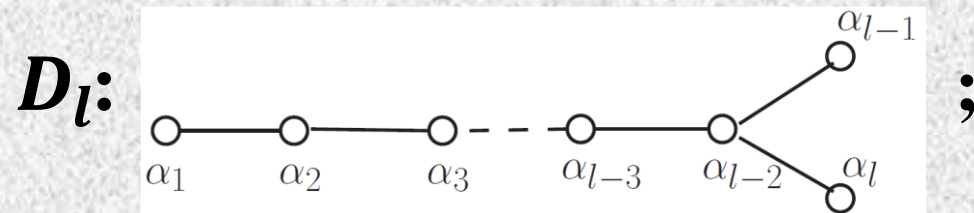
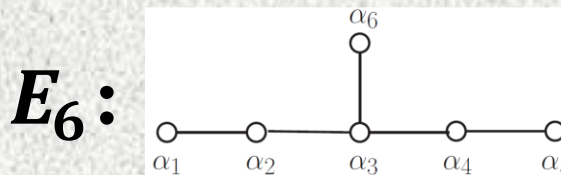
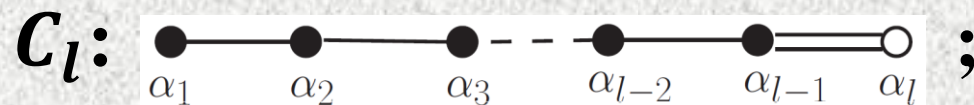
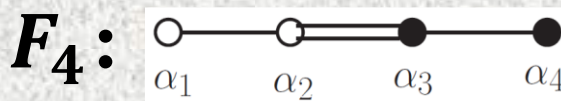
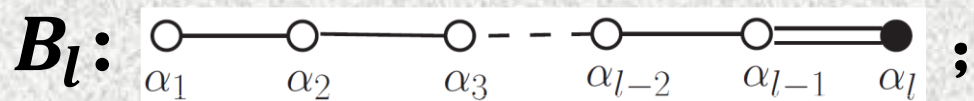
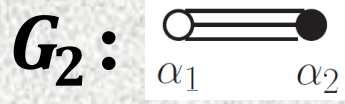
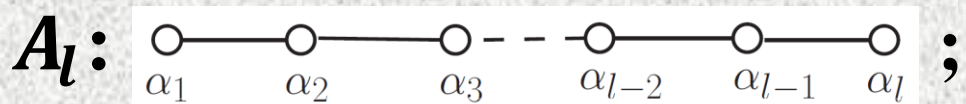
# § 2.3.3 那金图

## 二、那金图的性质及可能的那金图

小结:

根 --- 正根 --- 素根: 线性独立、完备  $2\frac{(\alpha,\beta)}{(\alpha,\alpha)} = -q < 0$ .

$\Rightarrow$  独立, 不可再分, 夹角仅三种  $\Rightarrow \pi$  系, 那金图  $\Rightarrow$





## § 2.4 根的确 定

已知：直角坐标系中确定根很复杂，且不直观。

于是，对根分类， $\Rightarrow \Sigma = \underset{\substack{\text{相应根的数目} \\ n}}{0} + \underset{l}{\Sigma^+} + \underset{\frac{n-l}{2}}{\Sigma^-}$ ，

$\pi \in \Sigma^+$ ：  $l$  维，

线性独立，完备，

$$2 \frac{(\alpha, \beta)}{(\alpha, \alpha)} = -q < 0 \text{ (夹角三个值)}.$$

$\Rightarrow$  邓金图。

可由  $\pi$  系的邓金图出发确定根(系)。

## § 2.4 根的确 定

### § 2.4.1 Cartan 矩阵

#### 一、定义

对  $l$  秩半单李代数,  $\{\alpha_i | i = 1, 2, \dots, l\} = \pi$ ,

$$\frac{2(\alpha_i, \alpha_j)}{(\alpha_i, \alpha_i)} = -p = m, \quad \frac{2(\alpha_j, \alpha_i)}{(\alpha_j, \alpha_j)} = -p' = m'; \quad \rightarrow \text{邓金图}.$$

邓金图  $\rightarrow$   $\pi$  系中各根的长度关系、及之间的夹角  $\theta_{ij}$ ,

$$\cos^2 \theta_{ij} = \frac{(\alpha_i, \alpha_j)^2}{\alpha_i^2 \alpha_j^2} = \frac{1}{4} m m', \quad \frac{\alpha_i^2}{\alpha_j^2} = \frac{m'}{m}.$$

约定一个长度关系, 如  $|\alpha_i| < |\alpha_j|$ , 可准确确定  $m$  和  $m'$ .

上述回顾表明, 对  $l$  秩半单李代数,  $\{\alpha_i | i = 1, 2, \dots, l\} = \pi$ ,

$$\frac{(\alpha_i, \alpha_j)}{(\alpha_i, \alpha_i)} (= \text{半整数}), \text{ 或 } \frac{2(\alpha_i, \alpha_j)}{(\alpha_i, \alpha_i)} (= \text{整数}) \text{ 具有决定性作用!}$$

以  $2 \frac{(\alpha_i, \alpha_j)}{(\alpha_i, \alpha_i)} = A_{ij}$  为矩阵元构成的矩阵称为嘉当矩阵。

## § 2.4 根的确 定

### 二、半单李代数的 Cartan 矩阵

#### 1. $A_l$ 李代数的 Cartan 矩阵

##### (1) $A_2$ 李代数的 Cartan 矩阵

由其 Dynkin 图  知:

$$\cos \theta_{12} = \cos 120^\circ = -\frac{1}{2}, \quad \cos^2 \theta_{12} = \frac{mm'}{4} = \frac{1}{4}, \quad \Rightarrow mm' = 1;$$

再考虑  $\frac{|\alpha_1|}{|\alpha_2|} = \frac{(\alpha_1, \alpha_1)^{1/2}}{(\alpha_2, \alpha_2)^{1/2}} = \left(\frac{m'}{m}\right)^{1/2} = 1, \quad \Rightarrow m = m' = -1.$

总之,

$$2 \frac{(\alpha_1, \alpha_1)}{(\alpha_1, \alpha_1)} = 2, \quad 2 \frac{(\alpha_2, \alpha_2)}{(\alpha_2, \alpha_2)} = 2,$$

$$2 \frac{(\alpha_1, \alpha_2)}{(\alpha_1, \alpha_1)} = -1, \quad 2 \frac{(\alpha_2, \alpha_1)}{(\alpha_2, \alpha_2)} = -1,$$

于是,  $A_2$  李代数的 Cartan 矩阵  $A_{A_2} = \begin{pmatrix} 2 & -1 \\ -1 & 2 \end{pmatrix}.$



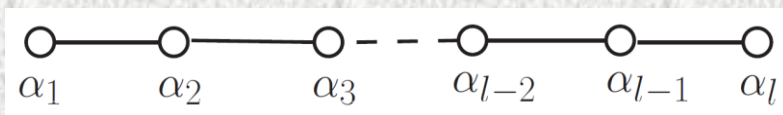
## § 2.4 根的确 定

### 二、半单李代数的 Cartan 矩阵

#### 1. $A_l$ 李代数的 Cartan 矩阵

#### (2) $A_l$ 李代数的 Cartan 矩阵

由其 Dynkin 图



知:

$$\cos \theta_{ij} = \cos 120^\circ \delta_{i(j \pm 1)} = -\frac{1}{2} \delta_{i(j \pm 1)}, \quad \cos^2 \theta_{ij} = \frac{mm'}{4} \delta_{i(j \pm 1)} = \frac{1}{4} \delta_{i(j \pm 1)},$$

再考虑  $\frac{|\alpha_i|}{|\alpha_j|} = \frac{(\alpha_i, \alpha_i)^{1/2}}{(\alpha_j, \alpha_j)^{1/2}} = \left(\frac{m'}{m}\right)^{1/2} = 1, \quad \Rightarrow m = m' = -1.$

总之,

$$2 \frac{(\alpha_i, \alpha_i)}{(\alpha_i, \alpha_i)} = 2, \quad 2 \frac{(\alpha_i, \alpha_j)}{(\alpha_i, \alpha_i)} = 2 \frac{|\alpha_j| \cos \theta_{ij}}{|\alpha_i|} = 2 \cdot 1 \cdot \left(-\frac{1}{2} \delta_{i(j \pm 1)}\right) = -\delta_{i(j \pm 1)},$$

于是,  $A_l$  李代数的 Cartan 矩阵为

$$A_{A_l} = \begin{pmatrix} 2 & -1 & 0 & 0 & \cdots & \cdots & 0 \\ -1 & 2 & -1 & 0 & \cdots & \cdots & 0 \\ 0 & -1 & 2 & -1 & \cdots & \cdots & 0 \\ 0 & 0 & -1 & 2 & \cdots & \cdots & 0 \\ \vdots & \vdots & \vdots & \vdots & \ddots & \ddots & \vdots \\ 0 & 0 & 0 & 0 & -1 & 2 & -1 \\ 0 & 0 & 0 & 0 & 0 & -1 & 2 \end{pmatrix}.$$

$(l \times l)$  三对角  
矩阵。

## § 2.4 根的确 定

### 二、半单李代数的 Cartan 矩阵

#### 2. $B_l$ 李代数的 Cartan 矩阵

##### (1) $B_2$ 李代数的 Cartan 矩阵

由其 Dynkin 图  知:

$$\cos\theta_{12} = \cos 135^\circ = -\frac{\sqrt{2}}{2}, \quad \cos^2\theta_{12} = \frac{mm'}{4} = \frac{2}{4}, \Rightarrow mm' = 2;$$

再考虑  $\frac{|\alpha_1|}{|\alpha_2|} = \frac{(\alpha_1, \alpha_1)^{1/2}}{(\alpha_2, \alpha_2)^{1/2}} = \left(\frac{m'}{m}\right)^{1/2} = \sqrt{2}, \Rightarrow m = -1, m' = -2.$

总之,

$$2 \frac{(\alpha_1, \alpha_1)}{(\alpha_1, \alpha_1)} = 2,$$

$$2 \frac{(\alpha_2, \alpha_2)}{(\alpha_2, \alpha_2)} = 2,$$

$$2 \frac{(\alpha_1, \alpha_2)}{(\alpha_1, \alpha_1)} = 2 \cdot \frac{1}{\sqrt{2}} \cdot \left(-\frac{\sqrt{2}}{2}\right) = -1,$$

$$2 \frac{(\alpha_2, \alpha_1)}{(\alpha_2, \alpha_2)} = 2 \cdot \sqrt{2} \cdot \left(-\frac{\sqrt{2}}{2}\right) = -2,$$

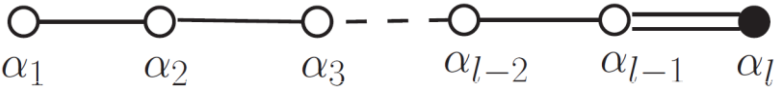
于是,  $B_2$  李代数的 Cartan 矩阵  $A_{B_2} = \begin{pmatrix} 2 & -1 \\ -2 & 2 \end{pmatrix}.$

## § 2.4 根的确 定

### 二、半单李代数的 Cartan 矩阵

#### 2. $B_l$ 李代数的 Cartan 矩阵

##### (2) $B_l$ 李代数的 Cartan 矩阵

由其 Dynkin 图  知:

对  $i, j = 1, 2, \dots, (l-2), (l-1),$

$$\cos \theta_{ij} = \cos 120^\circ \delta_{i(j \pm 1)} = -\frac{1}{2} \delta_{i(j \pm 1)}, \quad \cos^2 \theta_{ij} = \frac{mm'}{4} \delta_{i(j \pm 1)} = \frac{1}{4} \delta_{i(j \pm 1)},$$

再考虑  $\frac{|\alpha_i|}{|\alpha_j|} = \frac{(\alpha_i, \alpha_i)^{1/2}}{(\alpha_j, \alpha_j)^{1/2}} = \left(\frac{m'}{m}\right)^{1/2} = 1, \quad \Rightarrow m = m' = -1.$

总之,  $2 \frac{(\alpha_i, \alpha_i)}{(\alpha_i, \alpha_i)} = 2,$

$$2 \frac{(\alpha_i, \alpha_j)}{(\alpha_i, \alpha_i)} = 2 \frac{|\alpha_j| \cos \theta_{ij}}{|\alpha_i|} = 2 \cdot 1 \cdot \left(-\frac{1}{2} \delta_{i(j \pm 1)}\right) = -\delta_{i(j \pm 1)},$$

$$2 \frac{(\alpha_j, \alpha_i)}{(\alpha_j, \alpha_j)} = 2 \frac{|\alpha_i| \cos \theta_{ji}}{|\alpha_j|} = 2 \cdot 1 \cdot \left(-\frac{1}{2} \delta_{j(i \pm 1)}\right) = -\delta_{j(i \pm 1)},$$



## § 2.4 根的确 定

### 二、半单李代数的 Cartan 矩阵

#### 2. $B_l$ 李代数的 Cartan 矩阵

#### (2) $B_l$ 李代数的 Cartan 矩阵

对  $i = l-1, j = l$ ,

$$\cos\theta_{ij} = \cos 135^\circ = -\frac{\sqrt{2}}{2}, \quad \cos^2\theta_{ij} = \frac{mm'}{4} = \frac{2}{4},$$

$$\frac{|\alpha_{l-1}|}{|\alpha_l|} = \frac{(\alpha_{l-1}, \alpha_{l-1})^{1/2}}{(\alpha_l, \alpha_l)^{1/2}} = \left(\frac{m'}{m}\right)^{1/2} = \sqrt{2}, \Rightarrow m = -1, m' = -2.$$

$$\begin{aligned} \text{总之, } 2\frac{(\alpha_l, \alpha_l)}{(\alpha_l, \alpha_l)} &= 2, \quad 2\frac{(\alpha_{l-1}, \alpha_l)}{(\alpha_{l-1}, \alpha_{l-1})} = 2\frac{|\alpha_l|\cos\theta_{ij}}{|\alpha_{l-1}|} = 2 \cdot \frac{1}{\sqrt{2}} \cdot \left(-\frac{\sqrt{2}}{2}\right) = -1, \\ 2\frac{(\alpha_l, \alpha_{l-1})}{(\alpha_l, \alpha_l)} &= 2\frac{|\alpha_{l-1}|\cos\theta_{ij}}{|\alpha_l|} = 2 \cdot \frac{\sqrt{2}}{1} \cdot \left(-\frac{\sqrt{2}}{2}\right) = -2, \end{aligned}$$

于是,  $B_l$  李代数的 Cartan 矩阵为

$$A_{B_l} = \begin{pmatrix} 2 & -1 & 0 & 0 & \cdots & \cdots & 0 \\ -1 & 2 & -1 & 0 & \cdots & \cdots & 0 \\ 0 & -1 & 2 & -1 & \cdots & \cdots & 0 \\ 0 & 0 & -1 & 2 & \cdots & \cdots & 0 \\ \vdots & \vdots & \vdots & \vdots & \ddots & \ddots & \vdots \\ 0 & 0 & 0 & 0 & -1 & 2 & -1 \\ 0 & 0 & 0 & 0 & 0 & -2 & 2 \end{pmatrix}.$$

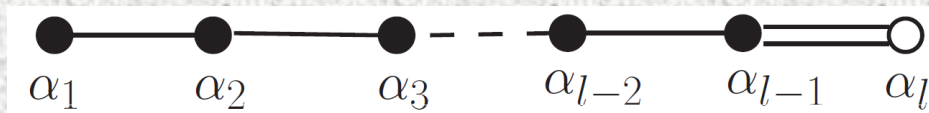
$(l \times l)$  三对角  
矩阵。

## § 2.4 根的确

### 二、半单李代数的 Cartan 矩阵

### 3. $C_l$ 李代数的 Cartan 矩阵

由其 Dynkin 图



知:

对  $i, j = 1, 2, \dots, (l-2), (l-1)$ ,

$$\cos \theta_{ij} = \cos 120^\circ \delta_{i(j \pm 1)} = -\frac{1}{2} \delta_{i(j \pm 1)}, \quad \cos^2 \theta_{ij} = \frac{mm'}{4} \delta_{i(j \pm 1)} = \frac{1}{4} \delta_{i(j \pm 1)},$$

再考虑  $\frac{|\alpha_i|}{|\alpha_j|} = \frac{(\alpha_i, \alpha_i)^{1/2}}{(\alpha_j, \alpha_j)^{1/2}} = \left(\frac{m'}{m}\right)^{1/2} = 1, \quad \Rightarrow m = m' = -1.$

总之,

$$2 \frac{(\alpha_i, \alpha_i)}{(\alpha_i, \alpha_i)} = 2,$$

$$2 \frac{(\alpha_i, \alpha_j)}{(\alpha_i, \alpha_i)} = 2 \frac{|\alpha_j| \cos \theta_{ij}}{|\alpha_i|} = 2 \cdot 1 \cdot \left(-\frac{1}{2} \delta_{i(j \pm 1)}\right) = -\delta_{i(j \pm 1)},$$

$$2 \frac{(\alpha_j, \alpha_i)}{(\alpha_j, \alpha_j)} = 2 \frac{|\alpha_i| \cos \theta_{ji}}{|\alpha_j|} = 2 \cdot 1 \cdot \left(-\frac{1}{2} \delta_{j(i \pm 1)}\right) = -\delta_{j(i \pm 1)},$$

## § 2.4 根确定

### 二、半单李代数的 Cartan 矩阵

#### 3. $C_l$ 李代数的 Cartan 矩阵

对  $i = l-1, j = l$ ,

$$\cos\theta_{ij} = \cos 135^\circ = -\frac{\sqrt{2}}{2}, \quad \cos^2\theta_{ij} = \frac{mm'}{4} = \frac{2}{4},$$

$$\frac{|\alpha_{l-1}|}{|\alpha_l|} = \frac{(\alpha_{l-1}, \alpha_{l-1})^{1/2}}{(\alpha_l, \alpha_l)^{1/2}} = \left(\frac{m'}{m}\right)^{1/2} = \frac{1}{\sqrt{2}}, \Rightarrow m = -2, m' = -1.$$

$$\text{总之, } 2\frac{(\alpha_l, \alpha_l)}{(\alpha_l, \alpha_l)} = 2, \quad 2\frac{(\alpha_{l-1}, \alpha_l)}{(\alpha_{l-1}, \alpha_{l-1})} = 2\frac{|\alpha_l|\cos\theta_{ij}}{|\alpha_{l-1}|} = 2 \cdot \frac{\sqrt{2}}{1} \cdot \left(-\frac{\sqrt{2}}{2}\right) = -2,$$

$$2\frac{(\alpha_l, \alpha_{l-1})}{(\alpha_l, \alpha_l)} = 2\frac{|\alpha_{l-1}|\cos\theta_{ij}}{|\alpha_l|} = 2 \cdot \frac{1}{\sqrt{2}} \cdot \left(-\frac{\sqrt{2}}{2}\right) = -1,$$

于是,  $C_l$  李代数的 Cartan 矩阵为

$$A_{C_l} = \begin{pmatrix} 2 & -1 & 0 & 0 & \cdots & \cdots & 0 \\ -1 & 2 & -1 & 0 & \cdots & \cdots & 0 \\ 0 & -1 & 2 & -1 & \cdots & \cdots & 0 \\ 0 & 0 & -1 & 2 & \cdots & \cdots & 0 \\ \vdots & \vdots & \vdots & \vdots & \ddots & \ddots & \vdots \\ 0 & 0 & 0 & 0 & -1 & 2 & -2 \\ 0 & 0 & 0 & 0 & 0 & -1 & 2 \end{pmatrix}.$$

$(l \times l)$  三对角矩阵。

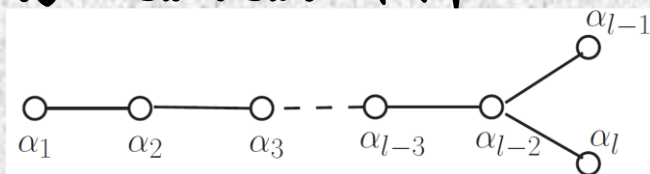


## § 2.4 根的确

### 二、半单李代数的 Cartan 矩阵

#### 4. $D_l$ 李代数的 Cartan 矩阵

由其 Dynkin 图



知:

对  $i, j = 1, 2, \dots, (l-3), (l-2),$

$$\cos \theta_{ij} = \cos 120^\circ \delta_{i(j \pm 1)} = -\frac{1}{2} \delta_{i(j \pm 1)}, \quad \cos^2 \theta_{ij} = \frac{mm'}{4} \delta_{i(j \pm 1)} = \frac{1}{4} \delta_{i(j \pm 1)},$$

再考虑  $\frac{|\alpha_i|}{|\alpha_j|} = \frac{(\alpha_i, \alpha_i)^{1/2}}{(\alpha_j, \alpha_j)^{1/2}} = \left(\frac{m'}{m}\right)^{1/2} = 1, \quad \Rightarrow m = m' = -1.$

总之,

$$2 \frac{(\alpha_i, \alpha_i)}{(\alpha_i, \alpha_i)} = 2,$$

$$2 \frac{(\alpha_i, \alpha_j)}{(\alpha_i, \alpha_i)} = 2 \frac{|\alpha_j| \cos \theta_{ij}}{|\alpha_i|} = 2 \cdot 1 \cdot \left(-\frac{1}{2} \delta_{i(j \pm 1)}\right) = -\delta_{i(j \pm 1)},$$

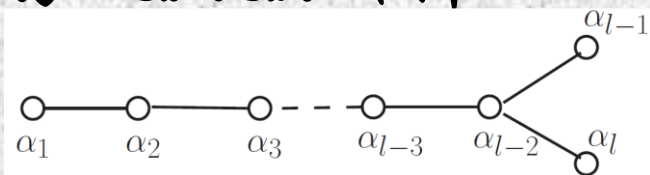
$$2 \frac{(\alpha_j, \alpha_i)}{(\alpha_j, \alpha_j)} = 2 \frac{|\alpha_i| \cos \theta_{ji}}{|\alpha_j|} = 2 \cdot 1 \cdot \left(-\frac{1}{2} \delta_{j(i \pm 1)}\right) = -\delta_{j(i \pm 1)},$$

## § 2.4 根的确 定

### 二、半单李代数的 Cartan 矩阵

#### 4. $D_l$ 李代数的 Cartan 矩阵

由其 Dynkin 图



知:

对  $i = l-2, j = l-1,$

$$\cos \theta_{ij} = \cos 120^\circ = -\frac{1}{2}, \quad \cos^2 \theta_{ij} = \frac{mm'}{4} = \frac{1}{4}, \quad \frac{|\alpha_i|}{|\alpha_j|} = \left(\frac{m'}{m}\right)^{1/2} = 1,$$

$$2 \frac{(\alpha_i, \alpha_i)}{(\alpha_i, \alpha_i)} = 2, \quad 2 \frac{(\alpha_i, \alpha_j)}{(\alpha_i, \alpha_i)} = 2 \frac{|\alpha_j| \cos \theta_{ij}}{|\alpha_i|} = 2 \cdot 1 \cdot \left(-\frac{1}{2}\right) = -1,$$

$$2 \frac{(\alpha_j, \alpha_i)}{(\alpha_j, \alpha_j)} = 2 \frac{|\alpha_i| \cos \theta_{ji}}{|\alpha_j|} = 2 \cdot 1 \cdot \left(-\frac{1}{2}\right) = -1,$$

对  $i = l-2, j = l,$

因为 Dynkin 图与  $i = l-2, j = l-1$  的完全相同,

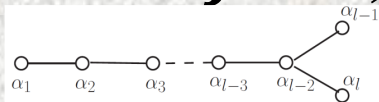
所以矩阵元也完全相同。

## § 2.4 根的确

### 二、半单李代数的 Cartan 矩阵

#### 4. $D_l$ 李代数的 Cartan 矩阵

对  $i = l-1, j = l$ ,

由图  知, 二者不相连,

即有  $\theta_{(l-1)l} = 90^\circ$ ,  $\cos\theta_{(l-1)l} = \cos 90^\circ = 0$ ,

因此,  $2 \frac{(\alpha_i, \alpha_i)}{(\alpha_i, \alpha_i)} = 2$ ,  $2 \frac{(\alpha_i, \alpha_j)}{(\alpha_i, \alpha_i)} = 2 \frac{|\alpha_j| \cos\theta_{ij}}{|\alpha_i|} = 2 \cdot 1 \cdot 0 = 0$ ,

$$2 \frac{(\alpha_j, \alpha_i)}{(\alpha_j, \alpha_j)} = 2 \frac{|\alpha_i| \cos\theta_{ij}}{|\alpha_j|} = 2 \cdot 1 \cdot 0 = 0,$$

于是,  $D_l$  李代数的 Cartan 矩阵为

$$A_{D_l} = \begin{pmatrix} 2 & -1 & 0 & 0 & \cdots & \cdots & 0 & 0 \\ -1 & 2 & -1 & 0 & \cdots & \cdots & 0 & 0 \\ 0 & -1 & 2 & -1 & \cdots & \cdots & 0 & 0 \\ 0 & 0 & -1 & 2 & \cdots & \cdots & 0 & 0 \\ \vdots & \vdots & \vdots & \vdots & \ddots & \ddots & \vdots & 0 \\ 0 & 0 & 0 & 0 & \cdots & 2 & -1 & \textcolor{red}{-1} \\ 0 & 0 & 0 & 0 & 0 & -1 & 2 & \textcolor{blue}{0} \\ 0 & 0 & 0 & 0 & 0 & \textcolor{red}{-1} & \textcolor{blue}{0} & 2 \end{pmatrix}.$$

$(l \times l)$  五对角矩阵。

## § 2.4 根的确 定

### 二、半单李代数的 Cartan 矩阵

#### 5. $G_2$ 李代数的 Cartan 矩阵

由其 Dynkin 图  知:

$$\cos\theta_{12} = \cos 150^\circ = -\frac{\sqrt{3}}{2}, \quad \cos^2\theta_{12} = \frac{mm'}{4} = \frac{3}{4}, \Rightarrow mm' = 3;$$

再考虑  $\frac{|\alpha_1|}{|\alpha_2|} = \frac{(\alpha_1, \alpha_1)^{1/2}}{(\alpha_2, \alpha_2)^{1/2}} = \left(\frac{m'}{m}\right)^{1/2} = \sqrt{3}, \Rightarrow m = -1, m' = -3.$

总之,

$$2 \frac{(\alpha_1, \alpha_1)}{(\alpha_1, \alpha_1)} = 2,$$

$$2 \frac{(\alpha_2, \alpha_2)}{(\alpha_2, \alpha_2)} = 2,$$

$$2 \frac{(\alpha_1, \alpha_2)}{(\alpha_1, \alpha_1)} = 2 \cdot \frac{1}{\sqrt{3}} \cdot \left(-\frac{\sqrt{3}}{2}\right) = -1, \quad 2 \frac{(\alpha_2, \alpha_1)}{(\alpha_2, \alpha_2)} = 2 \cdot \sqrt{3} \cdot \left(-\frac{\sqrt{3}}{2}\right) = -3,$$

于是,  $G_2$  李代数的 Cartan 矩阵  $A_{G_2} = \begin{pmatrix} 2 & -1 \\ -3 & 2 \end{pmatrix}.$

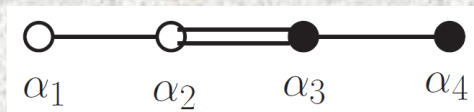


## § 2.4 根的确 定

### 二、半单李代数的 Cartan 矩阵

#### 6. $F_4$ 李代数的 Cartan 矩阵

由其 Dynkin 图 知:



$$\cos \theta_{12} = \cos 120^\circ = -\frac{1}{2}, \quad \cos^2 \theta_{12} = \frac{mm'}{4} = \frac{1}{4}, \quad \Rightarrow \quad mm' = 1;$$

$$\frac{|\alpha_1|}{|\alpha_2|} = \frac{(\alpha_1, \alpha_1)^{1/2}}{(\alpha_2, \alpha_2)^{1/2}} = \left(\frac{m'}{m}\right)^{1/2} = 1, \quad \Rightarrow \quad m = m' = -1.$$

于是,

$$2 \frac{(\alpha_1, \alpha_1)}{(\alpha_1, \alpha_1)} = 2, \quad 2 \frac{(\alpha_2, \alpha_2)}{(\alpha_2, \alpha_2)} = 2,$$

$$2 \frac{(\alpha_1, \alpha_2)}{(\alpha_1, \alpha_1)} = 2 \cdot 1 \cdot \left(-\frac{1}{2}\right) = -1, \quad 2 \frac{(\alpha_2, \alpha_1)}{(\alpha_2, \alpha_2)} = 2 \cdot 1 \cdot \left(-\frac{1}{2}\right) = -1;$$

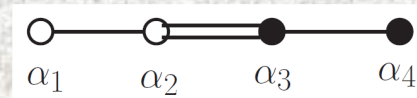
$$\text{并且, } \cos \theta_{13} = \cos 90^\circ = 0, \quad 2 \frac{(\alpha_1, \alpha_3)}{(\alpha_1, \alpha_1)} = 0, \quad 2 \frac{(\alpha_3, \alpha_1)}{(\alpha_3, \alpha_3)} = 0;$$

$$\cos \theta_{14} = \cos 90^\circ = 0, \quad 2 \frac{(\alpha_1, \alpha_4)}{(\alpha_1, \alpha_1)} = 0, \quad 2 \frac{(\alpha_4, \alpha_1)}{(\alpha_4, \alpha_4)} = 0;$$

## § 2.4 根的确 定

### 二、半单李代数的 Cartan 矩阵

#### 6. $F_4$ 李代数的 Cartan 矩阵



$$\cos\theta_{23} = \cos 135^\circ = -\frac{\sqrt{2}}{2}, \quad \cos^2\theta_{23} = \frac{mm'}{4} = \frac{2}{4}, \quad \frac{|\alpha_2|}{|\alpha_3|} = \left(\frac{m'}{m}\right)^{1/2} = \sqrt{2},$$

$$2\frac{(\alpha_2, \alpha_3)}{(\alpha_2, \alpha_2)} = 2\frac{|\alpha_3|\cos\theta_{23}}{|\alpha_2|} = 2 \cdot \frac{1}{\sqrt{2}} \cdot \left(-\frac{\sqrt{2}}{2}\right) = -1, \quad 2\frac{(\alpha_3, \alpha_2)}{(\alpha_3, \alpha_3)} = -2,$$

$$\cos\theta_{24} = \cos 90^\circ = 0, \quad 2\frac{(\alpha_2, \alpha_4)}{(\alpha_2, \alpha_2)} = 2\frac{|\alpha_4|\cos\theta_{24}}{|\alpha_2|} = 0, \quad 2\frac{(\alpha_4, \alpha_2)}{(\alpha_4, \alpha_4)} = 0,$$

$$\cos\theta_{34} = \cos 120^\circ = -\frac{1}{2}, \quad \cos^2\theta_{34} = \frac{mm'}{4} = \frac{1}{4}, \quad \frac{|\alpha_3|}{|\alpha_4|} = \left(\frac{m'}{m}\right)^{1/2} = 1,$$

$$2\frac{(\alpha_3, \alpha_3)}{(\alpha_3, \alpha_3)} = 2\frac{(\alpha_4, \alpha_4)}{(\alpha_4, \alpha_4)} = 2, \quad 2\frac{(\alpha_3, \alpha_4)}{(\alpha_3, \alpha_3)} = -1, \quad 2\frac{(\alpha_4, \alpha_3)}{(\alpha_4, \alpha_4)} = -1,$$

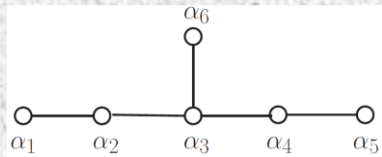
于是,  $F_4$  李代数的 Cartan 矩阵为

$$A_{F_4} = \begin{pmatrix} 2 & -1 & 0 & 0 \\ -1 & 2 & -1 & 0 \\ 0 & -2 & 2 & -1 \\ 0 & 0 & -1 & 2 \end{pmatrix}.$$

## § 2.4 根的确

### 二、半单李代数的 Cartan 矩阵

#### 7. $E_6$ 李代数的 Cartan 矩阵



由其邓金图 知: 相邻素根间夹角为  $120^\circ$ ,

于是  $A_{11} = A_{22} = A_{33} = A_{44} = A_{55} = A_{66} = 2 \frac{(\alpha_i, \alpha_i)}{(\alpha_i, \alpha_i)} = 2$ ,

$$A_{12} = 2 \frac{(\alpha_1, \alpha_2)}{(\alpha_1, \alpha_1)} = 2 \cdot 1 \cdot \left(-\frac{1}{2}\right) = -1, \quad A_{21} = 2 \frac{(\alpha_2, \alpha_1)}{(\alpha_2, \alpha_2)} = -1,$$

$$A_{23} = A_{32} = A_{34} = A_{43} = A_{36} = A_{63} = A_{45} = A_{54} = -1;$$

由不相邻的素根间夹角为  $90^\circ$ , 不相邻根对应的矩阵元都为 0.

所以,  $E_6$  李代数的 Cartan 矩阵为

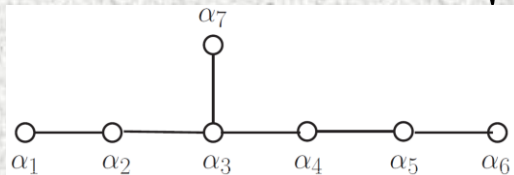
$$A_{E_6} = \begin{pmatrix} 2 & -1 & 0 & 0 & 0 & 0 \\ -1 & 2 & -1 & 0 & 0 & 0 \\ 0 & -1 & 2 & -1 & 0 & -1 \\ 0 & 0 & -1 & 2 & -1 & 0 \\ 0 & 0 & 0 & -1 & 2 & 0 \\ 0 & 0 & -1 & 0 & 0 & 2 \end{pmatrix}.$$

## § 2.4 根的确定

### 二、半单李代数的 Cartan 矩阵

#### 8. $E_7$ 李代数的 Cartan 矩阵

由其 Dynkin 图



知:

$$A_{11} = A_{22} = A_{33} = A_{44} = A_{55} = A_{66} = A_{77} = 2 \frac{(\alpha_i, \alpha_i)}{(\alpha_i, \alpha_i)} = 2,$$

$$A_{12} = A_{21} = A_{23} = A_{32} = A_{34} = A_{43} = A_{37} = A_{73} = A_{45} = A_{54} = A_{56} = A_{65} = -1;$$

不相邻根对应的矩阵元都为 0, 即  $A_{13} = A_{31} = A_{14} = A_{41} = A_{15} = A_{51}$

$$= A_{16} = A_{61} = A_{17} = A_{71} = A_{24} = A_{42} = A_{25} = A_{52} = A_{26} = A_{62} = A_{27} = A_{72}$$

$$= A_{35} = A_{53} = A_{36} = A_{63} = A_{46} = A_{64} = A_{47} = A_{74} = A_{57} = A_{75} = A_{67} = A_{76} = 0;$$

所以,  $E_7$  李代数的 Cartan 矩阵为

$$A_{E_7} = \begin{pmatrix} 2 & -1 & 0 & 0 & 0 & 0 & 0 \\ -1 & 2 & -1 & 0 & 0 & 0 & 0 \\ 0 & -1 & 2 & -1 & 0 & 0 & -1 \\ 0 & 0 & -1 & 2 & -1 & 0 & 0 \\ 0 & 0 & 0 & -1 & 2 & -1 & 0 \\ 0 & 0 & 0 & 0 & -1 & 2 & 0 \\ 0 & 0 & -1 & 0 & 0 & 0 & 2 \end{pmatrix}.$$

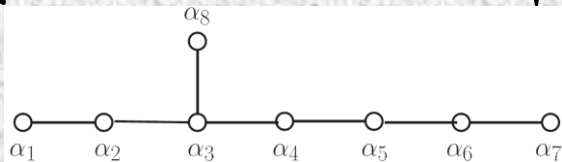


## § 2.4.1 Cartan矩阵

### 二、半单李代数的Cartan 矩阵

#### 9. $E_8$ 李代数的Cartan 矩阵

由其 Dynkin 图



知:

$$A_{11} = A_{22} = A_{33} = A_{44} = A_{55} = A_{66} = A_{77} = A_{88} = 2 \frac{(\alpha_i, \alpha_i)}{(\alpha_i, \alpha_i)} = 2,$$

$$A_{12} = A_{21} = A_{23} = A_{32} = A_{34} = A_{43} = A_{45} = A_{54} = A_{56} = A_{65} = A_{67} = A_{76} = -1;$$

不相邻根对应的矩阵元都为 0, 即  $A_{13} = A_{31} = A_{14} = A_{41} = A_{15} = A_{51}$   
 $= A_{16} = A_{61} = A_{17} = A_{71} = A_{18} = A_{81} = A_{24} = A_{42} = A_{25} = A_{52} = A_{26} = A_{62}$   
 $= A_{27} = A_{72} = A_{28} = A_{82} = A_{35} = A_{53} = A_{36} = A_{63} = A_{37} = A_{73} = \cdots = 0;$

所以,  $E_8$  李代数的Cartan 矩阵为

$$A_{E_8} = \begin{pmatrix} 2 & -1 & 0 & 0 & 0 & 0 & 0 & 0 \\ -1 & 2 & -1 & 0 & 0 & 0 & 0 & 0 \\ 0 & -1 & 2 & -1 & 0 & 0 & 0 & -1 \\ 0 & 0 & -1 & 2 & -1 & 0 & 0 & 0 \\ 0 & 0 & 0 & -1 & 2 & -1 & 0 & 0 \\ 0 & 0 & 0 & 0 & -1 & 2 & -1 & 0 \\ 0 & 0 & 0 & 0 & 0 & -1 & 2 & 0 \\ 0 & 0 & -1 & 0 & 0 & 0 & 0 & 2 \end{pmatrix}.$$

## § 2.4.2 半单纯李代数的根系

### 一、确定方案

由根的结构知,  $n$  维  $l$  秩半单纯李代数的根系为:

$$\Sigma = \mathbf{0} + \Sigma^+ + \Sigma^-,$$

相应根的数目  $n \quad l \quad \frac{n-l}{2} \quad \frac{n-l}{2}$

前述讨论表明: 若已知  $\{\alpha_i | i = 1, 2, \dots, l\} = \pi \in \Sigma^+$ ,

即已知所有一级正根(素根),

则其它正根  $a$  都可以由素根叠加得到, 即有,

$$a = \sum_{i=1}^l k^i \alpha_i, \quad (k^i > 0, K = \sum_{i=1}^l k^i \text{ 称为该根的级次}).$$

如果已知  $\mathfrak{g}$  的  $K$  级正根  $a$ , 则  $K+1$  级正根  $b$  可以表述为

$$b = a + \alpha_j, \quad \text{其中 } \alpha_j \in \pi.$$

如果  $b$  确实是根, 由定义知, 它是  $K+1$  级正根。

## § 2.4.2 半单纯李代数的根系

### 一、确定方案

由于已知所有  $K$  级及其以下的正根, 即已知线性组合

$$a, a - \alpha_j, a - 2\alpha_j, \dots,$$

中哪些是根、哪些不是根, 因此在包含  $a$  的关于  $\alpha_j$  的根链:

$$a - q_j \alpha_j, a - (q_j - 1) \alpha_j, a - \alpha_j, a, a + \alpha_j, \dots, a + p_j \alpha_j,$$

中的  $q_j$  是已知的, 相应于  $K=1$ ,  $q_j = 0$ .

那么, 由根的性质  $\frac{2(a, \alpha_j)}{(\alpha_j, \alpha_j)} = q - p = m$  (整数),

$$\text{知, } p_j = q_j - 2 \frac{(a, \alpha_j)}{(\alpha_j, \alpha_j)}.$$

将  $a = \sum_{i=1}^l k^i \alpha_i$  代入, 则得

$$p_j = q_j - 2 \frac{(\sum_{i=1}^l k^i \alpha_i, \alpha_j)}{(\alpha_j, \alpha_j)} = q_j - 2 \frac{\sum_{i=1}^l k^i (\alpha_i, \alpha_j)}{(\alpha_j, \alpha_j)} = q_j - \sum_{i=1}^l A_{ji} k^i.$$

## § 2.4.2 半单李代数的根系

### 一、确定方案

其中  $A_{ji} = \frac{2(\alpha_j, \alpha_i)}{(\alpha_j, \alpha_j)}$  为 Cartan 矩阵的矩阵元。

这表明,  $p_j$  可以由 Cartan 矩阵确定。

显然, 如果  $p_j \geq 1$ , 则  $a + \alpha_j$  是  $(K+1)$  级正根;

如果  $p_j < 1$ , 则  $a + \alpha_j$  不是根。

这样, 我们即可确定  $n$  维  $l$  秩半单李代数的所有正根。

进而可以确定所有的根。

具体方案小结如下。



## § 2.4.2 半单李代数的根系

### 一、确定方案

◆ 确定  $n$  维  $l$  秩半单李代数的所有根的方案如下:

先确定由素根  $\{\alpha_j | j = 1, 2, \dots, l\}$  简单叠加的  $K$  级正根

$$a = \sum_{i=1}^l k^i \alpha_i \quad (K = \sum_{i=1}^l k^i),$$

和包含  $a$  的关于  $\alpha_j$  已的根链

$$a - q_j \alpha_j, a - (q_j - 1) \alpha_j, a - \alpha_j, a, a + \alpha_j, \dots, a + p_j \alpha_j,$$

中的  $q_j$ ;

然后由嘉当矩阵确定  $p_j = q_j - \sum_{i=1}^l A_{ji} k^i$ ;

再根据“如果  $p_j \geq 1$ , 则  $a + \alpha_j$  是  $(K+1)$  级正根;

如果  $p_j < 1$ , 则  $a + \alpha_j$  不是根”

的判据确定  $a + \alpha_j$  是否是根;


再然后逐级递推求出所有正根。

最后, 对求得所有正根再都乘以  $-1$ , 得到所有负根。

从而确定完整的根系。

## § 2.4.2 半单李代数的根系

### 二、实例： $G_2$ 的所有根

由邓金图  知,

$G_2$  李代数的一级正根 (素根) 为  $\alpha_1$  和  $\alpha_2$ ,

嘉当矩阵为  $A = \begin{pmatrix} 2 & -1 \\ -3 & 2 \end{pmatrix}$ .

- 由于  $\alpha_2 - \alpha_1$  不是根,

则包含  $\alpha_2$  的关于素根  $\alpha_1$  的根链仅为  $\alpha_2$ ,

即有  $q_1 = 0, k^1 = 0, k^2 = 1$ ,

于是  $p_1 = q_1 - \sum_{i=1}^2 A_{1i} k^i = 0 - 2 \cdot 0 - (-1) \cdot 1 = 1$ .

$\because p_1 = 1 \geq 1$ ,

$\therefore \alpha_2 + \alpha_1$  是根 (二级正根).

同理, 由  $\alpha_1 - \alpha_2$  不是根知, 包含  $\alpha_1$  的关于  $\alpha_2$  的根链中,

$q_2 = 0, k^1 = 1, k^2 = 0$ ,

于是  $p_2 = q_2 - \sum_{i=1}^2 A_{2i} k^i = 0 - (-3) \cdot 1 - 2 \cdot 0 = 3$ .

## § 2.4.2 半单李代数的根系

### 二、实例： $G_2$ 的所有根

$$\because p_2 = 3 > 1,$$

$$\because \alpha_1 + \alpha_2 \text{ 是根 (二级正根).}$$

综上，有二级正根  $a = \alpha_1 + \alpha_2$  .

• 考虑包含二级正根  $a = \alpha_1 + \alpha_2$  的关于  $\alpha_1$  的根链，

$$\because a - \alpha_1 = \alpha_2 \text{ 是根, 即有 } q_1 = 1, k^1 = 1, k^2 = 1,$$

$$\because p_1 = q_1 - \sum_{i=1}^2 A_{1i} k^i = 1 - 2 \cdot 1 - (-1) \cdot 1 = 0.$$

$$\because p_1 = 0 \not\geq 1, \quad \therefore a + \alpha_1 = 2\alpha_1 + \alpha_2 \text{ 不是根.}$$

同理，由  $a - \alpha_2 = \alpha_1$  是根知，包含  $a$  的关于  $\alpha_2$  的根链中，

$$q_2 = 1, k^1 = 1, k^2 = 1,$$

$$\text{于是 } p_2 = q_2 - \sum_{i=1}^2 A_{2i} k^i = 1 - (-3) \cdot 1 - 2 \cdot 1 = 2.$$

$$\because p_2 = 2 > 1,$$

$$\therefore b = a + \alpha_2 = \alpha_1 + 2\alpha_2 \text{ 是根.}$$

综上，有三级正根  $b = \alpha_1 + 2\alpha_2$  .

## § 2.4.2 半单纯李代数的根系

### 二、实例： $G_2$ 的所有根

• 考虑包含三级正根  $b = \alpha_1 + 2\alpha_2$  的关于  $\alpha_1$  的根链,

$$\because b - \alpha_1 = (\alpha_1 + 2\alpha_2) - \alpha_1 = 2\alpha_2 \text{ 不是根,}$$

$$\text{即有 } q_1 = 0, k^1 = 1, k^2 = 2,$$

$$\because p_1 = q_1 - \sum_{i=1}^2 A_{1i} k^i = 0 - 2 \cdot 1 - (-1) \cdot 2 = 0.$$

$$\because p_1 = 0 \not\geq 1,$$

$$\because b + \alpha_1 = (\alpha_1 + 2\alpha_2) + \alpha_1 = 2(\alpha_1 + \alpha_2) \text{ 不是根.}$$

考虑包含三级正根  $b = \alpha_1 + 2\alpha_2$  的关于  $\alpha_2$  的根链,

$$\because b - \alpha_2 = (\alpha_1 + 2\alpha_2) - \alpha_2 = \alpha_1 + \alpha_2 = a \text{ 是根,}$$

$$b - 2\alpha_2 = (\alpha_1 + 2\alpha_2) - 2\alpha_2 = \alpha_1 \text{ 是根,}$$

$$b - 3\alpha_2 = \alpha_1 - \alpha_2 \text{ 不是根, 则有 } q_2 = 2, k^1 = 1, k^2 = 2,$$

$$\text{于是 } p_2 = q_2 - \sum_{i=1}^2 A_{2i} k^i = 2 - (-3) \cdot 1 - 2 \cdot 2 = 1.$$

$$\because p_2 = 1 \geq 1,$$

$$\because c = b + \alpha_2 = \alpha_1 + 3\alpha_2 \text{ 是根.}$$

综上, 有四级正根  $c = \alpha_1 + 3\alpha_2$ .



## § 2.4.2 半单纯李代数的根系

### 二、实例: $G_2$ 的所有根

• 考虑包含四级正根  $c = \alpha_1 + 3\alpha_2$  的关于  $\alpha_1$  的根链,

$$\because c - \alpha_1 = (\alpha_1 + 3\alpha_2) - \alpha_1 = 3\alpha_2 \text{ 不是根,}$$

$$\text{即有 } q_1 = 0, k^1 = 1, k^2 = 3,$$

$$\because p_1 = q_1 - \sum_{i=1}^2 A_{1i} k^i = 0 - 2 \cdot 1 - (-1) \cdot 3 = 1.$$

$$\because p_1 = 1, \quad \therefore c + \alpha_1 = (\alpha_1 + 3\alpha_2) + \alpha_1 = 2\alpha_1 + 3\alpha_2 \text{ 是根.}$$

考虑包含四级正根  $c = \alpha_1 + 3\alpha_2$  的关于  $\alpha_2$  的根链,

$$\because c - \alpha_2 = (\alpha_1 + 3\alpha_2) - \alpha_2 = \alpha_1 + 2\alpha_2 = b \text{ 是根,}$$

$$c - 2\alpha_2 = (\alpha_1 + 3\alpha_2) - 2\alpha_2 = \alpha_1 + \alpha_2 = a \text{ 是根,}$$

$$c - 3\alpha_2 = (\alpha_1 + 3\alpha_2) - 3\alpha_2 = \alpha_1 \text{ 是根,}$$

$$c - 4\alpha_2 = (\alpha_1 + 3\alpha_2) - 4\alpha_2 = \alpha_1 - \alpha_2 \text{ 不是根,}$$

$$\text{则有 } q_2 = 3, k^1 = 1, k^2 = 3,$$

$$\text{于是 } p_2 = q_2 - \sum_{i=1}^2 A_{2i} k^i = 3 - (-3) \cdot 1 - 2 \cdot 3 = 0.$$

$$\because p_2 = 0 \not\geq 1, \quad \therefore c + \alpha_2 = \alpha_1 + 4\alpha_2 \text{ 不是根.}$$

综上, 有五级正根  $d = 2\alpha_1 + 3\alpha_2$ .

## § 2.4.2 半单纯李代数的根系

### 二、实例: $G_2$ 的所有根

• 考虑包含五级正根  $d = 2\alpha_1 + 3\alpha_2$  的关于  $\alpha_1$  的根链,

$$\because d - \alpha_1 = (2\alpha_1 + 3\alpha_2) - \alpha_1 = \alpha_1 + 3\alpha_2 = c \text{ 是根,}$$

$$d - 2\alpha_1 = (2\alpha_1 + 3\alpha_2) - 2\alpha_1 = 3\alpha_2 \text{ 不是根,}$$

$$\text{即有 } q_1 = 1, k^1 = 2, k^2 = 3,$$

$$\because p_1 = q_1 - \sum_{i=1}^2 A_{1i} k^i = 1 - 2 \cdot 2 - (-1) \cdot 3 = 0.$$

$$\because p_1 = 0 \not\geq 1,$$

$$\therefore d + \alpha_1 = 3(\alpha_1 + \alpha_2) \text{ 不是根.}$$

考虑包含五级正根  $d = 2\alpha_1 + 3\alpha_2$  的关于  $\alpha_2$  的根链,

$$\because d - \alpha_2 = (2\alpha_1 + 3\alpha_2) - \alpha_2 = 2(\alpha_1 + \alpha_2) \text{ 不是根,}$$

$$\text{则有 } q_2 = 0, k^1 = 2, k^2 = 3,$$

$$\text{于是 } p_2 = q_2 - \sum_{i=1}^2 A_{2i} k^i = 0 - (-3) \cdot 2 - 2 \cdot 3 = 0.$$

$$\because p_2 = 0 \not\geq 1,$$

$$\therefore d + \alpha_2 = 2\alpha_1 + 4\alpha_2 \text{ 不是根.}$$

综上, 不存在六级正根, 进而不存在更高级次的正根。

## § 2.4.2 半单纯李代数的根系

二、实例： $G_2$ 的所有非零根

• 总结起来，得到  $G_2$  的所有根为：

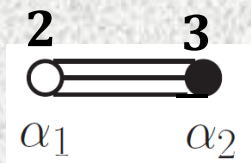
$$\pm\alpha_1, \pm\alpha_2, \pm(\alpha_1 + \alpha_2), \pm(\alpha_1 + 2\alpha_2), \pm(\alpha_1 + 3\alpha_2), \\ \pm(2\alpha_1 + 3\alpha_2).$$

即共有 12 个非零根，最高级次是 5.

通常称最高级次的根为最高根。

为表征最高根，常在那金图上标出最高根包含的各素根的级次。

例如，对  $G_2$  有：



=====

**习题：**

1. 试确定  $A_4$ 、 $B_4$ 、 $C_4$ 、 $D_4$ 、 $F_4$  的根系。
2. 试通过推导计算，给出  $A_l$ 、 $B_l$ 、 $C_l$  和  $D_l$  李代数的正根和之半。